

스텝인덱스 단일모드 광섬유의 최소분산 특성에 관한 연구

김연준, 장대석, 이상설

(한양대학교)

A Study on the Minimum Dispersion Characteristics
of Step Index Single Mode Optical Fibers

Won-Jeun Kim, Dae-Seok Chang, Sang-Seol Lee

(Hanyang University)

Abstract

In this paper, minimum dispersions of step index single mode optical fibers manufactured by the VAD method are calculated and measured by the phase modulation method. From them, we find that the calculated data agree closely with the results measured at the wavelength around 1.3 um, and that a method to shift zero dispersion wavelength (λ_0) at the wavelength around 1.55 um is to control refractive index profile(α) and relative refractive difference(Δ).

1. 서 론

단일 모드 광섬유를 이용한 전송선로에서 중요한 특성으로 전송 손실 및 전송 대역 특성을 들 수 있다. 광섬유의 전송 대역은 분산특성에 의하여 제한을 받지만, 단일모드 광섬유는 모드분산이 존재하지 않으므로 광대역 전송 선로를 구성할 수 있다. 단일모드 광섬유의 전송 대역은 짜장 분산에 의해서만 제한을 받는다.⁽¹⁾

광섬유의 굽절률 분포가 균일할 때 Glogle⁽²⁾의 이론에 의하면, 짜장 분산은 짜로분산과 도파로분산으로 분리된다. 짜로분산과 도파로분산의 합성으로 되는 전짜장분산은 어느 짜장에서 0으로 된다. 영분산 짜장에서 단일모드 광섬유를 전송 선로로 이용하면, 고차모드의 영향을 무시하여 전송 대역은 무한대로 되어 초광대역 전송 선로를 얻을 수 있다.⁽³⁾

이때 전송 선로의 중간 간격은 전송 손실에 의해서만 제한되므로, 영분산 짜장 및 저분산 짜장 영역을 조사하여, 단일모드 광섬유의 퍼티미티들의 의존성을 밟혀 두는 일은 초광대역 단일모드 광섬유 전송 선로를 얻기 위하여 중요한 일이다.

이 연구에서는 국 저손실 광섬유를 초광대역 전송 선로로 유효하게 이용하기 위하여, 저분산 영역에서 스텝인덱스 단일모드 광섬유의 분산 특성을 수치기산 및 측정에 의하여 확인하였다.

2. 짜장분산의 계산

단일모드 광섬유 내에서 발생하는 광신호의 디스토션은 광원의 중심파장 및 짜장률과 광섬유의 짜장분산에 의하여 결정된다.⁽⁴⁾ 짜장분산은 짜장에 따라 빛의 진행속도가 다르기 때문에 생기는 것으로, 원형 대칭 단면 구조를 가진 단일모드 광섬유에서 유일한 분산요인이 된다.

짜장분산을 축정함으로써 광섬유의 짜장과 짜장률이 주어질 때 광신호의 디스토션과 전송 시스템의 전송 대역도를 계산 할 수 있다.

송신측 2개의 광원의 위상차를 θ_1 , 이 광원짜장에서의 전파지연 시간의 차를 T 라 하면 수신측의 위상차 θ_2 는식(2-1)과 같다.⁽⁷⁾

$$\theta_2 = \theta_1 + 2\pi f T \text{ (rad)} \dots\dots (2-1)$$

여기서 f 는 변조주파수이다.

광섬유의 길이 1km 당의 지연을 T 라 하면,

$$T = \frac{\theta}{2\pi f} \cdot \frac{1}{L} \text{ (PS/km)} \dots\dots (2-2)$$

로 되며, $\theta = \theta_2 - \theta_1$, θ 은 광섬유의 길이이다.

를 4개의 광원짜장 ($\lambda_1, \lambda_2, \lambda_3, \lambda_4$)에 대하여 측정하고, 위상차를 식(2-3)에서 구한다.

$$\theta_{1j} = \theta_1 - \theta_j \dots\dots\dots (2-3)$$

여기서 $i = 1, 2, 3, j = i+1$ 이다.

식 (2-3) 을 식 (2-2) 에 대입하여 식 (2-4) 를 얻는다.

$$\Delta T_{ij} = \frac{\theta_{ij}}{2\pi c} \cdot \frac{1}{\lambda} \quad (\text{PS/Km}) \dots\dots\dots (2-4)$$

이것을 그림에 나타내면 그림 (2-1) 과 같다.

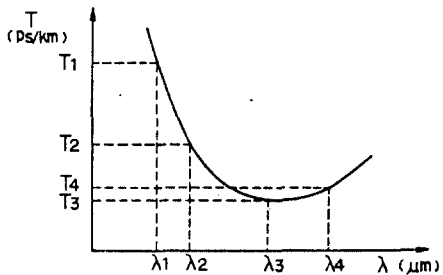


Fig.(2-1) A Plot of Time Delay T as a Function of LASER Wavelength λ .
Note that $T_3 = T_4 + \Delta T_{34}$,
 $T_2 = T_3 + \Delta T_{23}$, $T_1 = T_2 + \Delta T_{12}$.

그림 (2-1)로 부터 최소자 승법에 의하여 T 를 식 (2-4) 와 같이 근사시킨다.

$$T = A\lambda^2 + B + C\lambda^{-2} \dots\dots\dots (2-4)$$

여기서 A, B, C 는 상수이며, B 의 극치가 0 으로 하면 식 (2-4) 는 영분산 파장에 대한 상대지연을 나타낸다.

파장분산 D 는 식(2-4) 를 λ 에 대하여 미분하여 식 (2-5) 로 된다.

$$D = 2A\lambda - 2C\lambda^{-3} \quad (\text{PS/Km. nm}) \dots\dots\dots (2-5)$$

여기서 상수 A, B, C 를 구하기 위하여, 각 파장의 광원을 30, 200, 800 MHz 로 변조했을 때 지연시간 T 를 구한다.

이 결과를 이용하여 T 및 D 를 계산하고, 최소분산 파장 λ_0 를 구한다. 파장 1.320 μm 와 1.555 μm 에서 최소분산 특성을 고찰하기 위하여 1290 ≤ λ ≤ 1560 μm 로 한다.

계산을 위한 흐름도는 그림(2-2) 와 같으며, 계산결과는 그림(2-3) 와 같다. 사용된 컴퓨터는 PRIME 9750 이다.

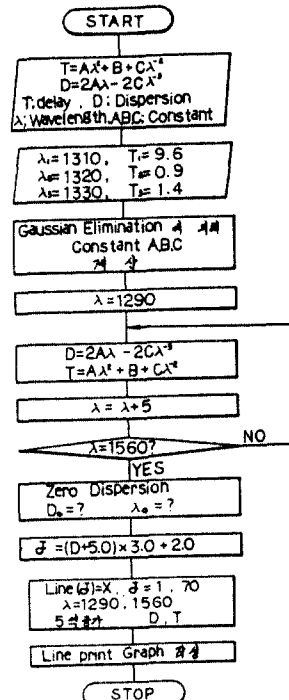


Fig.(2-2) The Flow Chart of Computation for Minimum Dispersion at $\lambda = 1.3 \mu\text{m}, 1.55 \mu\text{m}$.

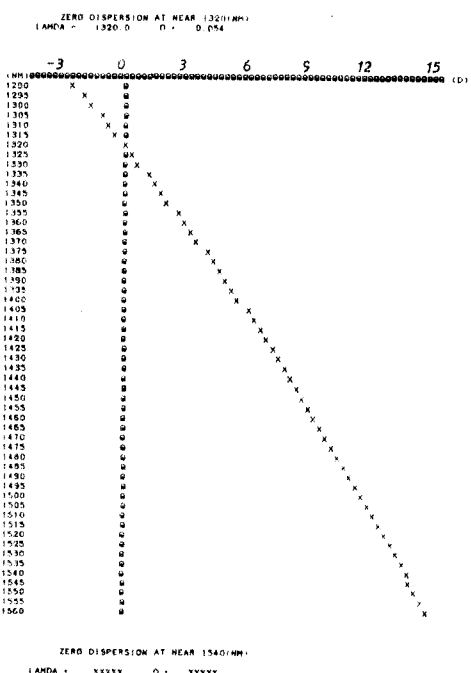
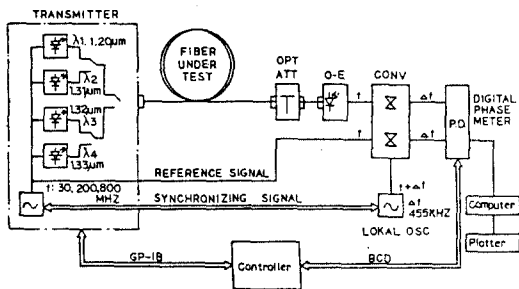


Fig.(2-3) A Plot of Chromatic Dispersion Computation

3. 파장분산의 측정⁽⁵⁾⁽⁶⁾⁽⁷⁾

3-1. 측정방법

이 광섬유의 파장분산 측정에 사용된 측정기는 파장 분산 측정기 $\Delta Q = 1030$ 이며, 그림(3-1)은 이 측정기의 계통도이다.



그림(3-1) $\Delta Q = 1030$ 의 측정계통도

제어처리부 외의 디자인 형식으로 측정을 진행한다. 측정날짜, 광섬유 길이 등을 입력시켜 프로그램을 실행하면, 시스템은 원격 상태로 되어 위상의 측정결과로 부터 상대지연과 파장분산을 계산하고 프린트 출력된다.

3-2. 측정결과 및 고찰

그림(3-2)은 파장분산의 측정결과를 나타내며, 표(4-1)은 계산 결과와 측정결과를 비교하여 나아내고 있다.

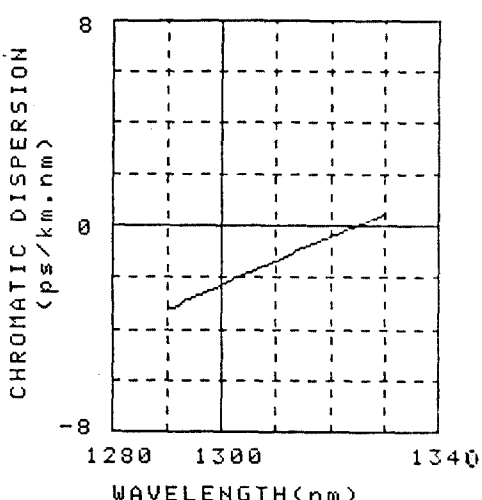


Fig. (3-2) Experimental Results of Chromatic Dispersion.

Table. (4-1) A Comparison of Theory with Experimental Data

파장 λ (nm)	시간지연 T (ps/km)		분산 D (ps/km.nm)	
	이론치	측정치	이론치	측정치
1290	34.1	55.2	-2.74	-3.25
1300	11.4	27.6	-1.78	-2.25
1310	-1.7	9.6	-0.35	-1.33
1320	-5.7	0.9	0.05	-0.41
1330	-0.68	1.4	0.94	0.50

표(4-1)에서 보는 바와 같이 파장 1.3nm 근처에서 계산결과와 측정결과가 거의 일치하고 있음을 알 수 있다.

3-3. 영분산 파장의 제작

VAD 법으로 제조하는 단일모드 광섬유의 전분산은 도파로 분산을 변화시켜 파장 1.55μm에서 최소가 되게 할 수 있다. 전이시키기 위한 방법으로는, (1) 굽절율 분포(α)를 조정하기 위하여 H_2/O_2 유량비율을 조정하거나, 고이용 베니와 브리튬의 중심축과의 각도를 $100^{\circ}\sim60^{\circ}$ 범위로 조정하고, (2) 비굽점율 차(Δ)를 제작하기 위하여 $GeCl_4$ 양을 설계치보다 약간 더 많이 첨가시키고 Rayleigh 산란손실을 감안한 데 몰 걸음을 분포를 Depressed 형으로 하여야 한다.

4. 결 론

VAD 법으로 제조한 스텝인웨스 단일모드 광섬유의 최소분산 특성을 계산 및 측정에 의하여 비교한 결과 다음과 같은 결론을 얻었다.

- (1) 수직계산을 최소 자승법으로 큰 사시켜서 간단히 계산한다.
- (2) 파장 1.3nm 근처에서 위상변조법으로 측정한 결과는 계산결과와 거의 일치한다.
- (3) 파장 1.55μm 대로 최소분산 파장(λ_0)을 전이시키기 위한 하나의 방법은 굽절율 분포(α)와 비굽점율 차(Δ)를 제작하는 것이다.
- (4) 파장 1.55μm에서 파장 분산 특성을 더욱 연구할 필요가 있다.

참 고 문 헌

1. N. Imoto et al, " Dispersion Characteristics of Single Mode Optical Fibers, " E.C.L.T.J, Vol. 28, No.6, pp.19-35 (1979/6)
2. D.Glege, " Dispersion in Weakly Guiding Fibers", Applied Optics, Vol. 10, No.11, pp.2442,(1971)
3. J. Yamada, "High Speed Optical Pulse Transmission at 1.29 μ m Wavelength Using Low Loss Single Mode Fibers," IEEE J. of Quantum Electron, QE-14, No.11, pp.791, (1978)
4. L.G. Cohen et al, " Dispersion and Bandwidth Spectra in Single Mode Fibers", IEEE J.Quantum Electron, QE-18, pp. 49, (1982)
5. K. Daikoku, " Direct Measurement of Wavelength Dispersion in Optical Fibers, Difference Method ", Electron Lett, Vol.14, No.5, pp. 149, (1978)
6. T. Miyashita et al, " Wavelength Dispersion in a Single Mode Fibers ", Electrom Lett , Vol. 13, No.8, pp.227, (1977)
7. Instruction Manual, AQ-1030 Wavelength Dispersion Measuring Set, Printed by ANDO Electric Ltd, Co.